



## مدیریت آب و آبیاری

دوره ۷ ■ شماره ۱ ■ بهار و تابستان ۱۳۹۶

صفحه‌های ۱۰۵-۱۱۹

# ارزیابی عملکرد و ارائه الگوی بهینه تحویل آب در شبکه آبیاری زرینه‌رود

سیف‌الله خدادادی<sup>۱</sup>، مهدی یاسی<sup>۲\*</sup>، محمدجواد منعم<sup>۳</sup>

۱. دانشجوی دکتری آبیاری و زهکشی، گروه مهندسی آب، دانشکده کشاورزی، دانشگاه ارومیه، ایران

۲. دانشیار، گروه مهندسی آبیاری و آبادانی، پردیس کشاورزی و منابع طبیعی، دانشگاه تهران، ایران

۳. دانشیار، گروه مهندسی سازه‌های آبی، دانشکده کشاورزی، دانشگاه تربیت مدرس، ایران

تاریخ پذیرش مقاله: ۱۳۹۶/۰۵/۰۱

تاریخ وصول مقاله: ۱۳۹۵/۰۷/۲۷

## چکیده

احیای دریاچه ارومیه نیازمند افزایش بهره‌وری آب در شبکه‌های آبیاری است. در تحقیق حاضر، عملکرد تحویل آب در شبکه آبیاری زرینه‌رود در حوضه دریاچه ارومیه ارزیابی و الگوی بهینه ارائه شد. داده‌های انشعابات اصلی ساحل چپ شبکه در تابستان ۱۳۹۴ برداشت گردید. نیاز آبی هر محدوده از شبکه برای دوره‌های مختلف سال تعیین و با میزان تحویل شده شرکت بهره‌برداری مقایسه شد. چهار شاخص ارزیابی عملکرد مولدن- گیتس محاسبه شد. نتایج نشان داد که شاخص راندمان، با متوسط ۵۶ درصد در کلاس ضعیف قرارارد. گرچه شاخص کفایت با متوسط ۹۷ درصد خوب است، شاخص پایداری با متوسط ۳۸ درصد و شاخص عدالت توزیع با متوسط ۵۰ درصد بیانگر عدم تعادل عرضه و تقاضای آب در اجزای شبکه است. توزیع نامناسب آب سطحی سبب افزایش شوری و عمق آب زیرزمینی در پایین دست شبکه و ماندگی شدن در بالادست شبکه بوده است. در این بررسی، الگوی توزیع آب در شرایط کشت موجود با استفاده از الگوریتم PSO بهینه‌سازی شد. بر این اساس، چهار شاخص راندمان، کفایت، پایداری و عدالت توزیع، به ترتیب به ۶۵، ۸۰ و ۶۰ درصد ارتقا می‌یابد. نتایج نشانگر ظرفیت بهبود عملکرد شبکه آبیاری زرینه‌رود، حتی در شرایط موجود است.

**کلیدواژه‌ها:** الگوریتم تجمع بهینه ذرات (PSO)، تعادل عرضه و تقاضا، شاخص‌های مولدن- گیتس، شبکه آبیاری زرینه‌رود، مدیریت آبیاری.

## مقدمه

شبکه آبیاری و بهبود عملکرد آن‌ها در استان سند پاکستان در سال‌های ۱۹۹۷-۹۸ انجام گرفت، عدالت توزیع آب کanal‌ها با شاخص نسبت عملکرد تحويل و شاخص اطمینان‌پذیری با درصد تغییرات زمانی و مکانی بدء جریان تحويلی ارزیابی شد. با توجه به حداقل نسبت عملکرد تحويل ۰/۷ و حداقل ضریب تغییرات  $0/3$ ، عملکرد شبکه‌ها ضعیف ارزیابی شد (۱۸).

ارزیابی عملکرد توزیع آب در کanal ارديبهشت شبکه آبیاری درودزن استان فارس با اندازه‌گیری بدء ورودی به انشعابات فرعی، طی سه فصل مختلف و استفاده از شاخص‌های نسبت عملکرد تحويل، بازده، عدالت توزیع زمانی و مکانی آب برای دو حالت سطح زیرکشت واقعی و قراردادی انجام گرفت. نتایج نشان‌دهنده عدالت توزیع پایین در کanal و مقدار متفاوت شاخص‌ها برای دو حالت مذکور بود (۵).

در تحقیق دیگری، الگوی توزیع آب در هفت آبگیر کanal E1R1 از شبکه آبیاری دز با کاربرد روش عددی SA<sup>۱</sup> بهینه‌سازی شد (۷). تابع هدف، ترکیب خطی غیرصریح شاخص‌های راندمان، کفايت، عدالت و پایداری تحويل آب بود. پایین‌بودن مقادیر شاخص‌ها سبب عدم تعادل عرضه و تقاضای آب می‌شود. نتایج بررسی وضعیت توزیع مکانی و زمانی آب کشاورزی در هجده واحد آبیاری ساحل راست شبکه آبشار در حوزه زاینده‌رود اصفهان در سال‌های ۱۳۸۶ و ۱۳۸۷ حاکی از عدم تعادل عرضه و تقاضا و بهره‌وری پایین آب بود (۸). بررسی عملکرد تحويل آب در ساحل چپ شبکه مینیمین ترکیه با شاخص‌های مولدن- گیتس طی سال‌های ۲۰۰۵ و ۲۰۰۶ در سطح مزرعه از روی اطلاعات آبیاری کشاورزان شامل راندمان‌های کاربرد آب، راندمان ذخیره، ضریب یکنواختی و ضریب پخش مطالعه شد. شاخص‌های راندمان و کفايت

بررسی‌های اولیه میدانی از وضع موجود و الگوی تحويل آب شبکه بیانگر مشکلات عدیده سازه‌ای، بهره‌برداری، مدیریتی و نگهداری است که سبب تلفات آب در بالادست و دریافت نامطمئن آب در پایین‌دست شبکه می‌شود. کاهش ۴۰ درصدی مصارف آب حوضه دریاچه ارومیه و تأمین ۷۷ درصدی آب از منابع درون‌حوضه‌ای یکی از راهکارهای مصوب ستاد احیای دریاچه و نیازمند مدیریت پایدار تقاضا و افزایش بهره‌وری آب حوضه است (۹). در این راستا، ارتقای عملکرد شبکه آبیاری زرینه‌رود، با توجه به نقش ۴۲ درصدی رودخانه زرینه‌رود در تأمین آب دریاچه ارومیه، ضروری است. نخستین گام در بهبود عملکرد شبکه‌های آبیاری، ارزیابی وضع موجود آن‌هاست (۱۱). ارزیابی از دیدگاه‌های مختلف مدیریتی، فنی، اقتصادی، اجتماعی و محیط‌زیستی با شاخص‌های متفاوت کمی و کیفی قابل تحقیق است، شامل روش‌های مختلف کیفی (نظیر تجزیه و تحلیل تشخیصی، ارزیابی سریع و ارزیابی چارچوبی) و روش‌های کمی (نظیر روش کلاسیک، تحلیل پوششی داده‌ها و روش فازی) (۱۷). از مهم‌ترین پارامترهای ارزیابی شبکه‌ها تعادل عرضه و تقاضای آب در وضعیت مطلوب بهره‌برداری است که باید هدف توزیع و تحويل آب با اعتماد پذیری بالا را تحقق بخشد (۴). این هدف نیاز به اطلاعاتی دارد، نظیر مقدار تخصیص آب از منابع سطحی و زیرزمینی و نحوه توزیع آن در فصل کشت، الگو و تراکم کشت، نیاز آبی در تقویم زراعی، بارندگی مؤثر و وضعیت بهره‌برداری شبکه (۸). در مطالعات مولدن و گیتس، عملکرد شبکه با شاخص‌های بدون بعد کفايت، راندمان، پایداری و عدالت ارائه شده یا ترکیب مختلفی از این شاخص‌ها ارزیابی می‌شود (۱۵). مطالعات متعددی به بررسی عملکرد شبکه‌ها پرداخته‌اند. در تحقیقی که برای آموزش و توامندسازی تشکل‌های کشاورزی نسبت به بهره‌برداری و نگهداری سه

## 1. Simulating Annealing

### مدیریت آب و آبیاری

دوره ۷ ■ شماره ۱ ■ بهار و تابستان ۱۳۹۶

چند هدفه در موضوعات مختلف از جمله تخصیص بهینه منابع آب (۱۹، ۲۰) و شبکه توزیع آب (۵، ۱۶) تأیید شد.

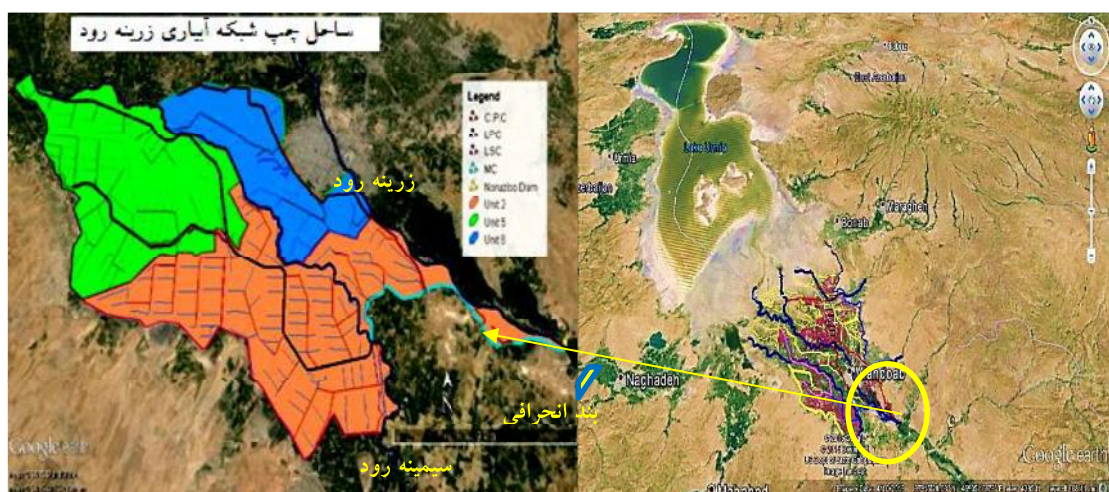
### مواد و روش‌ها محدوده مطالعه

محدوده مطالعه این تحقیق، واحدهای عمرانی ۲، ۵ و ۶ در ساحل چپ شبکه آبیاری و زهکشی زرینه رود، در دشت میاندوآب، واقع در جنوب شرقی دریاچه ارومیه است که در موقعیت جغرافیایی  $36^{\circ}50' \text{E}$  -  $37^{\circ}10' \text{N}$  طول شرقی و  $16^{\circ}31' \text{E}$  -  $45^{\circ}05' \text{N}$  عرض شمالی به مساحت حدود ۱۶۳۱ هکتار قرار دارد (شکل ۱). آب شبکه از طریق کanal اصلی به ظرفیت ۳۵ مترمکعب در ثانیه از ابتدای سد تنظیمی- انحرافی نوروزلو (در ۱۵ کیلومتری میاندوآب) تأمین و در انشعبادات درجه دو توزیع می‌شود. موقعیت و وضعیت اجرایی شبکه کanalها و انشعبادات با پیمایش صحرایی و تطابق با نقشه‌های طراحی موجود تدقیق و نقشه آن با استفاده از نرم افزارهای Arc GIS و Google Earth تهیه شد. با تعیین محل دریچه‌های انشعباد درجه دو و شبکه کanalهای فرعی، محدوده تحت پوشش هر انشعباد (در مجموع چهارده انشعباد اصلی) مشخص شد (شکل ۲).

خوب بود و شاخص اعتمادپذیری، متوسط و شاخص عدالت ضعیف ارزیابی شد (۱۳). همچنین، شبیه‌سازی هیدرولیک انتقال جریان آب شبکه درودزن و ارزیابی عملکرد آن با شاخص‌های کفايت، عدالت توزیع و آب مازاد، الگوی بهره‌برداری بهینه را به صورت جریان دائمی متغیر ارائه داده است (۱۰).

در تحقیقی که برای انتخاب روش‌های بهینه مدیریت آب مزروعه در شبکه درودزن انجام گرفت، بهینه‌سازی معیارهای کارایی (عدالت توزیع و بهره‌وری آب) با استفاده از الگوریتم ژنتیکی بررسی شد (۱۴).

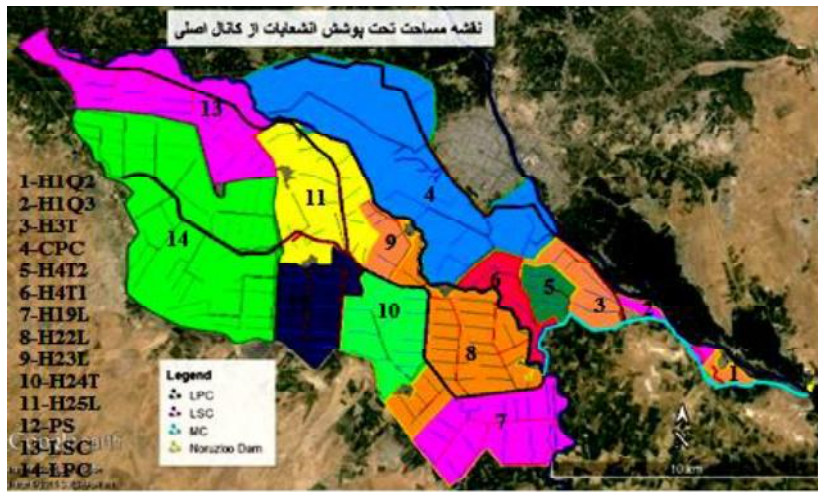
در تحقیق حاضر نیز به دلیل اهمیت بهبود بهره‌وری آب کشاورزی حوضه دریاچه ارومیه، به خصوص در شبکه‌های آبیاری سطحی، همسو با مصوبه کاهش ۴۰ درصدی مصرف آب کشاورزی ستاد احیا، نخست، الگوی تحویل و توزیع آب شبکه آبیاری زرینه رود با شاخص‌های مولدن- گیتس ارزیابی شد و الگوی بهینه برای شرایط موجود، با استفاده از الگوریتم فراکاوشی تجمع ذرات ارائه گردید. این الگوریتم با الهام از رفتار اجتماعی حیوانات، مانند حرکت دسته‌جمعی پرندگان، برای حل مسائل بهینه‌سازی پیوسته ارائه شد. اساس آن بر تکرار و هوش جمعی ذرات است (۱۲). کارایی این الگوریتم در بهینه‌سازی تک‌هدفه و



شکل ۱. موقعیت شبکه آبیاری و زهکشی زرینه رود و دریاچه ارومیه

### مدیریت آب و آبیاری

دوره ۷ ■ شماره ۱ ■ بهار و تابستان ۱۳۹۶



شکل ۲. محدوده‌های تحت پوشش انشعابات درجه دو از ساحل چپ کاتال اصلی

تحویلی واقعی در یک دوره تحویل ( $m^3/hr$ )،  $CV_R$  و  $CV_T$  به ترتیب ضریب تغییرات مکانی و زمانی (بدون بعد) است. هر چه شاخص رابطه (۱) به عدد ۱ نزدیک باشد، کفايت تحویل بهتر و مشکل کمبود آب حداقل می‌شود. تحویل آب مازاد بر نیاز سبب اتلاف و کاهش راندمان عملکرد می‌شود که شاخص رابطه (۲) آن را نشان می‌دهد. شاخص‌های روابط (۳) و (۴) به ترتیب پایداری توزیع زمانی و عدالت توزیع مکانی آب را بیان می‌کند. برای محاسبه مقادیر شاخص‌ها، اطلاعات زیر از شبکه جمع‌آوری شد.

### الگوی کشت محصولات

سطح و الگوی کشت منطقه با هفت گروه با همکاری میراب‌های محلی در تابستان ۱۳۹۴ آماربرداری شد. جدول ۱ جزئیات سطح و الگوی کشت باگی و زراعی را در محدوده انشعابات ارائه می‌دهد. علی‌رغم تنوع بالای محصولات کشت شده در منطقه، الگوی زراعی غالب گندم، جو و چغندر قند به ترتیب با ۲۳، ۱۸ و ۲۰ درصد و الگوی غالب سیب و هلو به ترتیب با ۲۰ و ۵ درصد است. این الگو در مجموع حدود ۸۵ مورد سطح زیرکشت محصولات را شامل می‌شود.

### شاخص‌های ارزیابی

شاخص‌های بی‌بعد مولدن- گیتس در ارزیابی عملکرد بهره‌برداری شبکه به صورت زیر تعریف می‌شود (۱۵).

$$P_A = \frac{1}{T} \sum \left[ \begin{array}{l} \text{if: } Q_d < Q_r \\ \text{if: } Q_r < Q_d \\ P_a = 1 \end{array} \right] \quad (1)$$

$$P_F = \frac{1}{T} \sum \left[ \begin{array}{l} \text{if: } Q_d > Q_r \\ \text{if: } Q_d < Q_r \\ P_f = 1 \end{array} \right] \quad (2)$$

$$P_D = \frac{1}{R} \sum CV_T(Q_d/Q_r) \quad (3)$$

$$P_E = \frac{1}{T} \sum CV_R(Q_d/Q_r) \quad (4)$$

در این روابط  $P_A$  شاخص کفايت (بدون بعد) و بیانگر توانایی روش بهره‌برداری در تحویل آب به قدر تأمین نیاز،  $P_F$  راندمان (بدون بعد) و بیانگر میزان آب مازاد تحویلی در اثر عملکرد نامناسب،  $P_D$  شاخص پایداری یا اعتمادپذیری تحویل آب (بدون بعد) در طول دوره بهره‌برداری (T)،  $P_E$  شاخص عدالت توزیع (بدون بعد) و بیانگر میزان تناسب مقادیر آب تحویلی و مورد نیاز در آبگیرهای مختلف،  $Q_d$  بدء مورد تقاضا ( $m^3/hr$ )،  $Q_r$  بدء

1. Performance of Adequacy
2. Performance of Efficiency
3. Performance of Dependability
4. Performance of Equity

### مدیریت آب و آبیاری

**جدول ۱. سطح زیر کشت (هکتار) و الگوی کشت باگی و زراعی در محدوده منطقه مطالعاتی**

LPC	LSC	PS	H25L	H24T	H23L	H22L	H19L	H4T1	H4T2	CPC	H3T	H1Q3	H1Q2	کشت/انشعاب
۴/۷	۱۰۴/۵	۸/۵	۳۴/۸	۰/۶	۹/۲	۱۱/۴	۸/۲	۴۳/۰	۲۲/۲	۱۳/۲	۲۸/۳	۸/۷	۲/۶	جو
۴۸۶/۲	۳۲۵/۸	۳۲۱/۵	۳۷۷/۷	۵۶/۱	۴۲۳/۵	۵۸۶/۳	۴۱۶/۷	۵۳/۲	۶۰/۲	۴۱۸/۰	۱۴۳/۸	۲۲/۳	۱۵/۲	گندم
۳۱۹/۶	۳۵۱/۶	۲۷۱/۴	۱۶۹/۲	۵۵/۰	۱۴۵/۴	۲۳۶/۰	۳۰۳/۱	۱۱۵/۲	۸۰/۶	۵۵۰/۹	۹۷/۷	۴۴/۸	۴۰/۱	یونجه
۴۲۲/۲	۳۴۵/۰	۳۱۱/۸	۲۴۲/۰	۸۱/۶	۲۰۱/۶	۴۲۰/۵	۲۴۴/۶	۱۲۲/۳	۸۹/۴	۵۶۳/۳	۱۲۵/۱	۲۴/۸	۲۶/۱	چغندر
۶۰/۳	۱۳/۶	۳۴/۶	۱۴/۵	۸/۱	۱۵/۴	۴۱/۵	۳۲/۶	۱۴/۳	۲۰/۸	۲۰۸/۲	۵/۶	۰/۰	۰/۰	ذرت
۱۶۸/۶	۳۶/۶	۹۶/۷	۲۶/۴	۱۲/۸	۲۰/۷	۷۴/۳	۱۰۸/۸	۱۵/۲	۱۱/۶	۲۶۳/۴	۱۴/۴	۲/۴	۰/۴	صیفی جات
۲۵/۴	۱۰/۸	۲۹/۴	۱۷/۴	۲۲/۶	۸/۹	۱۳/۶	۵/۳	۲۰/۷	۰/۰	۶۰۳/۹	۳۷/۸	۹/۶	۱/۶	هلو و آلو
۰/۵	۳/۳	۲/۶	۰/۰	۲/۲	۲/۴	۲۱/۱	۳۰/۰	۱۸/۳	۰/۰	۶۸/۲	۴/۸	۳/۵	۱/۶	گردو
۰/۰	۰/۰	۰/۰	۰/۰	۰/۰	۰/۰	۰/۰	۰/۰	۰/۰	۰/۰	۴۷/۲	۵/۶	۰/۰	۰/۰	انگور
۶۶۷/۱	۱۹۲/۷	۴۷۳/۵	۹۷/۸	۸۴/۷	۸۱/۶	۲۰۹/۲	۱۸۷/۷	۳۷/۳	۱۳/۹	۱۱۱۷/۲	۳۷/۳	۸/۸	۱۴/۹	سیب
۱۱۶/۳	۸۲/۰	۸۰/۸	۱/۶	۱۲۳/۲	۲۹/۰	۱۱/۵	۲۳/۰	۳۲/۴	۱۱۲/۷	۸/۷	۵/۲	۱/۴	آیش	

از آبیاری اولیه، تا اواخر خرداد آبیاری نمی‌شود.

در مورد غلات، رقم‌های امید، نوید، الموت، الوند و زرین برای کشت آبی استفاده می‌شود که تا اواخر بهمن و اسفند آبیاری انجام نمی‌شود. نیاز آبی این دوره برای تنفس گیاه (نه فتوستز) است و از رطوبت خاک تأمین می‌شود (۶). درختان میوه نیز غالباً در دوره گلدھی (فروردین ماه) به صورت غرقابی آبیاری نمی‌شود، چون شرایط عدم تهویه و تنفس کافی ریشه، سبب تولید تنظیم‌کننده رشدی به نام آبسیزیک اسید و در نتیجه ریزش گل‌ها می‌شود. شرایط تنفس غیرهوازی با تولید هورمون بازدارنده رشد اتیلن سبب تولید ماده سمی اتانول می‌شود. تداوم این شرایط علاوه بر ریزش گل‌ها، به مرگ گیاه نیز منجر می‌شود (۲). همچنین، با استناد به نتایج تحقیقات قبلی، راندمان انتقال کانال‌های درجه یک و دو، ۸۰ درصد و راندمان توزیع کانال‌های درجه ۳ و ۴ برابر ۵۰ درصد اعمال شد (۱).

**برآورد نیاز آبی محصولات**

برای برآورد نیاز آبی، نخست تبخیر تعرق، باران مؤثر و عمق آبیاری لازم برای هر محصول در دوره‌های ده روزه سال در منطقه میاندوآب از سند ملی تعیین شد. برای آبیاری اولیه محصولات زراعی جو، گندم و چغندر قند به ترتیب مقدار ۳۰، ۳۰ و ۳۵ میلی‌متر خاک‌آب به نیاز خالص اضافه شد (۸). بارش مؤثر مازاد بر نیاز در دوره‌های مذکور نفوذ عمقی در نظر گرفته شد. مدیریت کم آبیاری محصولات به شرح زیر اعمال شد.

کشت پاییزه گیاه چغندر به دلیل کنترل بیماری‌های ریشه‌ای، خسارت کمتر آفات، همچنین سرمادوست بودن (دماه پایه رشد ۳ درجه سانتی گراد) نسبت به کشت بهاره ارجح (۶) و در منطقه مطالعاتی رایج بود. اعمال تنش جزئی آب تا مرحله هشت تا ده برگی موجب اختصاص مواد فتوستزی به توسعه بیشتر عمق ریشه می‌شود، لذا بعد

**مدیریت آب و آبیاری**

کارکرد هر ماه، شوری و اسیدیتۀ آب، نوع مصرف، عمق و سطح آب) و تهیه شده در آماربرداری سال ۱۳۹۴ در Arc GIS تشکیل شد. جدول ۲ آمار کلی چاههای محدوده مطالعاتی را ارائه می‌دهد. به دلیل غیرقانونی بودن برداشت چاههای غیرمجاز، تنها برداشت چاههای مجاز فعال محدوده هر انشعباب، در ارزیابی عملکرد لحاظ شد. با کسر سهم برداشت آب زیرزمینی از نیاز ناخالص آبیاری، حجم خالص ماهانه آب مورد نیاز هر انشعباب محاسبه شد.

بدین ترتیب، عمق ناخالص مورد نیاز آبیاری محاسبه شد که بخشی از آن در محدوده هر انشعباب شبکه از طریق چاههای مجاز فعال تأمین می‌شود.

### برداشت آب زیرزمینی

به منظور لحاظ سهم آب زیرزمینی در تأمین بخشی از نیاز آبی، پایگاه داده تمام چاههای محدوده (شامل تعداد و مختصات موقعیت جغرافیایی آن‌ها، آبدهی و ساعت

جدول ۲. آمار چاههای موجود در محدوده مطالعاتی شبکه زرینه‌رود (مستخرج از منبع ۳)

چاه	تعداد	فعال	حداقل	متوسط	بدۀ جریان (لیتر بر ثانیه)	تخالیۀ سالانه (میلیون مترمکعب)	مساحت تحت پوشش (هکتار)
مجاز	۵۵۳	۵۰۸	۴۵	۱۵/۱۶	۱۷۶۱		
غیرمجاز	۴۱۶۷	۳۷۴۷	۵۰	۶۶/۷۴	۸۲۵۷		
کل چاهها	۴۷۲۰	۴۲۵۵	۵۰	۸۱/۹۰	۱۰۰۱۸		

جدول ۳. الگوی آب تحویلی به انشعبابات محدوده مطالعاتی در سال ۱۳۹۴ (مترمکعب)

انشعاب / ماه	اردبیهشت	خرداد	تیر	مرداد	شهریور	جمع
H1Q2	۶۴۴۳۸	۸۹۵۲۲	۱۳۳۳۱۱	۱۴۸۱۳۴	۱۶۰۳۳۰	۵۹۵۷۳۵
H1Q3	۱۷۲۸۰۰	۲۱۶۰۰۰	۱۹۴۴۰۰	۱۹۴۴۰۰	۱۴۰۴۰۰	۹۱۸۰۰۰
H3T	۲۰۷۳۶۰	۲۵۹۲۰۰	۲۲۳۲۸۰	۲۳۳۲۸۰	۱۶۸۴۸۰	۱۱۰۱۶۰۰
CPC	۶۹۱۲۰۰	۸۶۴۰۰۰	۷۷۷۶۰۰۰	۷۷۷۶۰۰۰	۵۶۱۶۰۰۰	۳۶۷۲۰۰۰۰
H4T2	۱۵۲۰۶۴	۱۹۰۰۸۰	۱۷۱۰۷۲	۱۲۲۳۵۵۲	۱۲۰۷۸۴۰	
H4T1	۵۱۸۴۰۰	۶۴۸۰۰۰	۵۸۳۲۰۰	۴۲۱۲۰۰	۴۲۷۵۴۰۰۰	
H19L	۶۹۱۲۰۰	۸۶۴۰۰۰	۷۷۷۶۰۰	۷۷۷۶۰۰	۵۶۱۶۰۰	۳۶۷۲۰۰۰
H22L	۱۵۵۸۶۵۶	۱۹۴۸۱۲۰	۱۷۵۳۴۸۸	۱۲۶۶۴۰۸	۱۲۸۰۳۶۰	
H23L	۷۹۱۴۲۴	۹۸۹۲۸۰	۸۹۰۳۵۲	۸۹۰۳۵۲	۶۴۳۰۳۲	۴۲۰۴۴۴۰
H24T	۲۲۸۰۹۶	۲۸۵۱۲۰	۲۵۶۶۰۸	۲۵۶۶۰۸	۱۸۵۲۲۸	۱۲۱۱۷۶۰
H25L	۵۱۸۴۰۰	۶۴۸۰۰۰	۵۸۳۲۰۰	۴۲۱۲۰۰	۴۲۷۵۴۰۰۰	
PS	۱۱۴۰۴۸۰	۱۴۲۵۶۰۰	۱۲۸۳۰۴۰	۹۲۶۶۴۰	۹۰۵۸۸۰۰	
LSC	۲۷۰۹۵۰۴	۲۸۰۸۰۰۰	۳۰۴۸۱۹۲	۳۰۴۸۱۹۲	۲۲۰۱۴۷۲	۱۳۸۱۵۳۶۰
LPC	۱۸۰۱۸۰۲	۲۲۴۳۲۷۸	۱۹۶۶۲۰۹	۱۹۵۱۳۸۶	۱۳۵۵۹۹۰	۹۳۱۸۶۶۵
جمع	۱۷۴۶۶۶۶۲۴	۲۱۲۵۴۴۰۰	۱۹۶۴۹۹۵۲	۱۹۶۴۹۹۵۲	۱۴۱۹۱۶۳۲	۹۲۲۱۲۵۶۰

### مدیریت آب و آبیاری

دوره ۷ ■ شماره ۱ ■ بهار و تابستان ۱۳۹۶

(۵)

$$V_{id}^{t+1} = X \left( (w.V_{id}^t + c_1 r_1 (P_{bestid} - x_{id}^t) + c_2 r_2 (G_{bestid} - x_{id}^t)) \right) \quad (6)$$

$$x_{id}^{t+1} = x_{id}^t + V_{id}^{t+1} \times \Delta t$$

که در آن  $X_{id}^t$  و  $V_{id}^t$  به ترتیب موقعیت و سرعت ذره آم در تکرار  $t$  و  $X_{id}^{t+1}$  و  $V_{id}^{t+1}$  موقعیت و سرعت جدید در فضای  $d$  بعدی است. ضرایب بدون بعد  $r_1$  و  $r_2$  اعداد تصادفی با توزیع یکنواخت در محدوده  $(0, 1)$  است.  $w$  پارامتر وزن اینرسی و عامل تعادل در همگرایی به بهینه موضعی و سراسری است. مقدار آن بین  $0.9$  و  $0.4$  به صورت خطی کاهش می‌یابد. ضرایب  $C_1$  و  $C_2$  به ترتیب پارامتر ادراکی و پارامتر اجتماعی و دو مقدار ثابت مثبت در بازه  $(0, 4)$  با شرط  $C_1 + C_2 \leq 4$  است (۱۲).

برای بهینه‌سازی الگوی تحویل آب، اهداف تحقیق شامل حداقل کمبود آبیاری و مینیمم ضریب تغییرات مکانی و زمانی نسبت تحویل، به شکل ریاضی طبق روابط (۷) تا (۹) تعریف و به روش مجموع وزندار با فرض اهمیت مضاعف عدالت توزیع و ثبات الگو نسبت به کمبود آب، مطابق رابطه (۱۰) به حالت یک‌هدفه تبدیل شد. فرض مدل بر برقراری جریان دائمی در کanal انتقال است.

$$f_1 = \min \sum_{j=1}^m |V_{del} - V_{dem}| \quad (7)$$

$$f_2 = \min \frac{1}{N} \sum_{j=1}^m C_r \left( \frac{V_{del}}{V_{dem}} \right) \quad (8)$$

$$f_3 = \min \frac{1}{m} \sum_{j=1}^m C_t \left( \frac{V_{del}}{V_{dem}} \right) \quad (9)$$

$$F = 0.2 \times f_1 + 0.4 \times f_2 + 0.4 \times f_3 \quad (10)$$

در روابط فوق  $V_{del}$  و  $V_{dem}$  به ترتیب حجم تحویلی و مورد نیار آب ( $m^3$ ) و  $C_r \cdot V_t$  به ترتیب ضریب تغییرات زمانی و مکانی تحویل،  $N$  تعداد دفعات آبیاری و  $m$  تعداد دریچه یا انشعاب است. متغیرهای مسئله عبارت است از حجم ماهانه آب تحویلی به هر انشعاب، مجموع حجم آب تحویلی هر انشعاب در طول دوره بهره‌برداری و

## الگوی آب تحویلی به شبکه

برنامه توزیع سهمیه آب کانال‌های آبیاری ساحل چپ شبکه زرینه رود، بر اساس تحویل مدیریت امور منابع آب میاندوآب در سال ۱۳۹۴، از آرشیو فنی شرکت آب منطقه‌ای استان استخراج شد. کل حجم رهاسازی شده ۱۲۴/۷ میلیون مترمکعب بود که به ترتیب مقدار ۲۷/۹ و ۴/۵ میلیون مترمکعب آن آب رهاشده به سیمینه رود و تلفات مسیر بوده است. حجم ۹۲/۲ میلیون مترمکعب طی ماههای اردیبهشت تا شهریور مطابق جدول ۳ به انشعابات شبکه تحویل شده است. با محاسبه نسبت آب تحویلی به آب خالص مورد نیاز انشعابات در طول ماههای بهره‌برداری، مقدار شاخص‌ها از روی روابط (۱) تا (۴) محاسبه و عملکرد شبکه ارزیابی می‌شود. سپس، الگوی توزیع شرایط موجود آب با الگوریتم تجمع ذرات بهینه‌سازی می‌شود.

## الگوریتم بهینه‌سازی تجمع ذرات<sup>۱</sup> (PSO)

الگوریتم PSO با ایجاد جمعیت تصادفی از ذرات شروع می‌شود که هر ذره نماینده یک جواب ممکن در فضای مسئله است. مشخصات هر ذره با دو بردار موقعیت ( $X$ ) و سرعت ( $V$ ) بیان می‌شود که نخست به طور تصادفی، مقداری اولیه می‌گیرد. سپس، به صورت تکرارشونده در فضای  $n$  بعدی مسئله حرکت می‌کند و با محاسبه مقدار بهینگی، گزینه‌های جدید بهتر را می‌یابد. هر یک از ذرات دارای حافظه است و بهترین موقعیت تجربه شده را به خاطر می‌سپارد. اصلاح موقعیت و سرعت هر ذره تحت تأثیر بهترین موقعیت تجربه شده هر ذره ( $P_{best}$ ) و بهترین موقعیت کل ذرات ( $G_{best}$ ) از ابتدای حرکت، طبق روابط (۵) و (۶) انجام می‌شود.

<sup>1</sup> Particle Swarm Optimization (PSO)

## مدیریت آب و آبیاری

مترمکعب است که  $15/16$  میلیون مترمکعب آن از چاههای مجاز پمپاژ می‌شود. کمتر از  $12$  درصد چاههای مجاز، و بیش از  $88$  درصد چاههای فاقد مجوز است. چاههای غیرمجاز سالانه حدود  $4/4$  برابر چاههای مجاز برداشت دارد و این گواه بر ضعف عملکرد شبکه در تأمین مطمئن نیاز آبی است. مقایسه نیاز واقعی با مقادیر تحویلی نشان می‌دهد، گرچه اختلاف ناچیزی بین  $92/2$  میلیون مترمکعب آب تحویلی با  $101$  میلیون مترمکعب آب مورد نیاز (احتساب کل چاههای مجاز و غیرمجاز) وجود دارد، ولی اعمال برداشت‌های غیرمجاز در برنامه تحویل وجهه قانونی ندارد؛ ضمن اینکه در محدوده تحت پوشش کanal LSC به جز در تابستان، و محدوده کانال‌های H1Q3 و H3T در پاییز، مازاد برداشت وجود دارد. برداشت‌های غیرمجاز به شکل پمپاژ از کانال‌ها نیز به دلیل نبود آمار لحاظ نشده است. با کسر برداشت چاههای مجاز، الگوی خالص آب مورد نیاز هر انشعاب، مطابق جدول ۴ است.

مجموع حجم تحویلی به کل شبکه در هر ماه. قیود مسئله نیز تأمین حداقل  $60$  درصد نیاز آبی انشعابات و عدم تجاوز از موجودی آب بود. کد الگوریتم به صورت mfile به زبان MATLAB تهیه شد. الگوی آب خالص مورد نیاز انشعابات به عنوان ورودی مدل در قالب ماتریسی با ابعاد  $5*14$  به ترتیب بیانگر تعداد انشعابات و تعداد ماههای تحویل آب تعریف شد. سپس، مقادیر پارامترهای الگوریتم با تحلیل حساسیت تعیین و مدل با تخصیص حجم آب به درایه‌های ماتریس در هر تکرار تا رسیدن به حد مجاز خطایا تعداد تکرار معین (شرط توقف مدل) اجرا شد.

## نتایج و بحث

کل نیاز ناخالص شبکه با داشتن عمق تبخیر- تعرق خالص هر محصول، سطح و الگوی کشت هر محدوده و اعمال راندمان‌های انتقال و توزیع آب، حدود  $183$  میلیون مترمکعب به دست آمد. آمار چاههای منطقه (جدول ۲) نشان می‌دهد کل برداشت آب زیرزمینی منطقه  $82$  میلیون

جدول ۴. حجم خالص نیاز آب هر انشعاب از کanal اصلی شبکه آبیاری با اعمال چاههای مجاز فعل (مترمکعب)

انشعاب / ماه	فروردين	اردیبهشت	خرداد	تیر	مرداد	شهرپور	مهر	آبان	جمع
H1Q2	۴۴۰۳۵	۸۵۸۲۹	۱۸۷۷۳۹	۲۵۶۳۶۸	۲۴۲۸۴۳	۱۹۰۸۶۹	۲۴۵۵۹	۹۳۸۱	۱۰۶۲۱۲۳
H1Q3	۴۴۷۸۸	۱۱۰۸۹۱	۲۱۵۶۰۱	۲۵۱۳۰۶	۲۲۴۶۳۴	۱۸۰۳۰۲	۵۴۵۸۲	۱۷۱۹۶	۱۱۰۹۳۰۰
H3T	۱۴۰۸۳۹	۴۱۰۲۸	۸۰۶۸۸۴	۹۹۰۳۴۷	۹۰۶۴۶۶	۶۶۳۸۱۰	۱۳۱۰۳۲	۶۰۱۳۰	۴۱۱۵۰۳۶
CPC	۷۸۸۲۷۰	۳۰۹۸۶۷۰	۷۷۸۸۱۱۳	۱۰۲۵۰۰۸۴	۹۵۳۰۳۲۰	۶۶۹۶۷۸۱	۱۸۴۶۵۷۶	۳۱۰۵۶۹۷	۴۰۳۱۹۵۱۱
H4T2	۱۰۶۱۶۷	۲۱۱۶۶۶	۴۶۳۷۲۷	۶۸۶۶۴۶	۴۵۴۰۶۲	۱۹۲۶۰۶	۱۹۲۶۸۳	۶۵۶۸۳	۲۸۱۷۰۲۵
H4T1	۱۸۴۱۱۰	۴۰۵۰۰۹	۸۹۹۹۰۶	۱۱۹۱۶۷۶	۱۱۲۲۷۷۱	۸۲۸۹۱۹	۳۳۰۵۱۸	۹۰۱۰۲	۵۰۵۳۰۱۱
H19L	۴۲۹۲۶۳	۱۳۸۴۶۷۹	۲۸۰۶۳۴۶	۳۰۳۵۹۶۳	۲۷۹۸۴۸۱	۲۱۲۸۴۹۶	۷۶۰۱۶۹	۳۱۰۹۷۳	۱۳۶۵۴۳۷۰
H22L	۵۸۴۱۴۱	۱۷۱۶۱۸۴	۳۴۷۶۲۷۶	۳۸۸۲۱۳۸	۳۵۰۵۰۱۶۳	۲۶۰۴۰۹	۹۸۱۸۳۲	۴۳۰۱۶۳	۱۷۲۷۱۳۰۶
H23L	۲۴۴۷۸۲	۹۲۷۴۵۶	۱۶۰۸۷۳۴	۱۶۰۸۷۳۴	۱۴۲۲۵۴۷	۱۰۵۸۰۷۱	۴۲۸۷۶۰	۲۸۹۰۸۵	۷۶۳۸۹۹۸
H24T	۱۰۶۸۰	۲۸۷۳۱۸	۶۹۷۱۸۷	۸۸۰۳۱۸	۸۲۳۲۶۰	۶۰۴۹۸۸	۲۱۸۴۵۳	۴۶۷۶۱	۳۶۶۴۹۶۵
H25L	۳۲۰۰۴۴	۱۰۴۳۷۴۸	۱۹۴۱۷۸۱	۲۰۲۳۷۰۹	۱۸۲۶۷۲۳	۱۳۵۹۲۹۵	۵۴۸۴۹۹	۳۰۴۸۳۷	۹۳۶۸۶۳۶
PS	۴۶۴۹۶۳	۱۴۹۵۹۹۵	۲۴۱۳۱۹۸	۴۰۹۱۸۷۱	۲۸۳۰۰۶	۲۹۰۳۰۵۷	۱۰۶۹۰۹۶	۲۷۲۵۷۷	۱۷۵۴۱۳۵۳
LSC	۵۱۸۵۴۴	۱۳۲۷۹۷۱	۲۶۲۶۰۹۷	۳۱۷۴۵۸۵	۲۹۶۰۷۷۷	۲۲۶۹۷۷۶	۹۱۲۰۷۷	۳۲۵۸۵۱	۱۴۱۱۵۶۲۸
LPC	۶۱۹۲۷۹	۲۱۳۵۸۵۱	۴۹۰۷۹۲۹	۵۷۱۷۳۴۹	۵۳۴۲۲۵۵	۴۰۲۵۵۹۶	۱۴۵۱۹۹۱	۳۹۳۱۷۸	۲۴۵۹۴۴۲۸
جمع	۴۵۹۶۴۰۵	۱۴۶۴۶۲۹۵	۳۱۸۹۰۳۴۷	۳۸۰۴۶۰۹۴	۳۵۲۲۸۷۵۴	۲۶۰۱۴۹۳۱	۸۹۷۱۲۵۰	۲۹۳۱۶۱۴	۱۶۸۳۲۵۶۹۰

## دیریت آب و آبیاری

دوره ۷ ■ شماره ۱ ■ بهار و تابستان ۱۳۹۶

## ارزیابی عملکرد و ارائه الگوی بهینه تحویل آب در شبکه آبیاری زرینه رود

### محاسبه شاخص‌های ارزیابی عملکرد

شاخص‌های ارزیابی عملکرد تنها برای ماههای تحویل آب به شبکه (پنج ماه فروردین تا آبان)، با مقایسه مقادیر جدول ۳ و ۴، و با استفاده از روابط (۱) تا (۴) ارزیابی شد. شاخص‌های راندمان ( $P_F$ )، کفایت ( $P_A$ ) و پایداری ( $P_D$ ) برای هر یک از انشعابات شبکه، در دوره زمانی پنج ماهه تحویل آب، به صورت جدول ۵ محاسبه شد. شاخص عدالت ( $P_E$ ) در ماههای مختلف تحویل آب، برای کل شبکه ارزیابی می‌شود (جدول ۶). مقادیر استاندارد این شاخص‌ها را در سه کلاس کیفی خوب، متوسط و ضعیف مولدن و گیتس مطابق جدول ۷ پیشنهاد کردند.

با درنظر گرفتن ۱۶۸/۳ میلیون مترمکعب نیاز خالص، اختلاف آب تحویلی به ۷۶/۱ میلیون مترمکعب می‌رسد. در هیچ یک از انشعابات برای نیازهای فروردین، مهر و آبان رهاسازی صورت نگرفته است. انشعابات CPC و LSC به ترتیب ۳۹/۸ و ۱۴/۹ درصد و در مجموع بیش از نصف آب تحویلی سال را دریافت کرده‌اند، در حالی که به ترتیب ۲۴/۸ و ۸/۷ درصد و در مجموع حدود یک‌سوم نیاز خالص آب را لازم داشته‌اند. لذا، الگوی زمانی و حجمی تحویل با نیاز آبی تطابق خوبی ندارد و صحت آن با محاسبه شاخص‌های ارزیابی عملکرد، تنها برای ماههای تحویلی آب، در بخش زیر روشن تر می‌شود.

جدول ۵. مقادیر شاخص‌های ارزیابی عملکرد (راندمان، کفایت و پایداری) در شبکه زرینه رود

انشعاب شبکه	شاخص راندمان (PF)	شاخص کفایت (PA)	شاخص پایداری (PD)
H1Q2	۰/۶۴	۱/۰۰	۰/۲۴
H1Q3	۰/۸۷	۰/۹۳	۰/۳۲
H3T	۰/۳۱	۱/۰۰	۰/۳۳
CPC	۰/۸۸	۰/۸۷	۰/۵۳
H4T2	۰/۳۸	۱/۰۰	۰/۵۰
H4T1	۰/۶۵	۰/۹۶	۰/۴۷
H19L	۰/۳۲	۱/۰۰	۰/۳۱
H22L	۰/۵۸	۱/۰۰	۰/۳۲
H23L	۰/۶۴	۱/۰۰	۸۰/۱
H24T	۰/۴۲	۱/۰۰	۰/۵۰
H25L	۰/۳۵	۱/۰۰	۰/۲۴
PS	۰/۴۳	۱/۰۰	۰/۴۴
LSC	۰/۹۹	۰/۸۸	۰/۳۸
LPC	۰/۴۷	۱/۰۰	۰/۴۶
متوجه	۰/۵۶	۰/۹۷	۰/۳۸

### مدیریت آب و آبیاری

دوره ۷ ■ شماره ۱ ■ بهار و تابستان ۱۳۹۶

جدول ۶. ارزیابی شاخص عدالت توزیع آب ( $P_E$ ) در شبکه زرینه‌رود

ماه تحویل آب	میانگین	انحراف معیار	ضریب تغییرات	متوسط شبکه
اردیبهشت	۱/۰۲	۰/۵۶	۰/۵۵	۰/۵۰
خرداد	۰/۵۹	۰/۲۸	۰/۴۸	۰/۴۸
تیر	۰/۴۶	۰/۲۳	۰/۴۹	۰/۴۹
مرداد	۰/۵۰	۰/۲۵	۰/۴۹	۰/۴۹
شهریور	۰/۵۱	۰/۲۵	۰/۵۰	۰/۵۰

جدول ۷. مقادیر استاندارد شاخص‌های ارزیابی (۱۳)

شاخص عملکرد	کلاس‌های عملکرد	خوب	متوسط	ضعیف
( $P_A$ ) کفایت		۰/۹۱	۰/۸۰-۰/۸۹	<۰/۸۰
( $P_F$ ) راندمان		۰/۸۵۱	۰/۷۰-۰/۸۴	<۰/۷۰
( $P_E$ ) عدالت		۰-۰/۱	۰/۱۱-۰/۲۵	<۰/۲۵
( $P_D$ ) پایداری		۰-۰/۱	۰/۱۱-۰/۲۰	<۰/۲۰

متوسط ۳۸ درصد، بیانگر اطمینان‌پذیری ضعیف به تأمین آب کانال‌ها در طول ماه‌های مختلف است. از پیامدهای آن، عدم مشارکت جوامع ذی‌نفع محلی در نگهداری شبکه، لایروبی کانال‌ها، و روی آوردن به منابع جایگزین مثل حفر چاه‌ها یا پمپاژ از رودخانه خواهد بود.

در خصوص شاخص عدالت<sup>۱</sup> باید توجه داشت که منظور تساوی<sup>۲</sup> در دریافت آب یا عدالت اجتماعی<sup>۳</sup> (برخورداری به اندازه استحقاق) نیست، بلکه حقایقی است که بر مبنای قوانین محلی به‌ازای واحد سطح اراضی تحت مالکیت یا زیرکشت آبی اختصاص داده شده است (۱۳). تحقق عدالت به معنای توزیع منصفانه<sup>۴</sup> و رعایت

نتایج جدول ۵ نشان می‌دهد که شاخص راندمان در انشعباب H3T با ۳۱ درصد کمترین مقدار و در انشعباب LSC با ۹۹ درصد بیشترین مقدار را دارد. میزان متوسط کل این شاخص ۵۶ درصد است که به‌غیر از انشعبابات LSC و H1Q3، بقیه در کلاس ضعیف قرار می‌گیرد. از علل پایین‌بودن این شاخص، خاکی‌بودن مسیر بعضی کانال‌های فرعی، شکستگی یا آب‌بند نبودن بعضی دریچه‌ها، کتسرل غیراصولی سطح آب و دستکاری تنظیم دریچه‌ها با آبران محلی است. بررسی‌های میدانی نشانگر آن است. شاخص کفایت آبیاری با حداقل مقدار ۸۷ درصد در CPC، و حداقل ۱۰۰ درصد در غالب انشعبابات، و متوسط ۹۷ درصد، در کلاس خوب قرار دارد، ولی از ثبات و پایداری خوبی برخوردار نیست، به‌طوری که شاخص پایداری به جز در انشعباب H23L با مقدار ۱۸ درصد (کلاس متوسط)، در سایر انشعبابات با ضریب تغییرات بیش از ۲۰ درصد، و

1. equity
2. equality
3. justic
4. fairness

## مدیریت آب و آبیاری

دوره ۷ ■ شماره ۱ ■ بهار و تابستان ۱۳۹۶

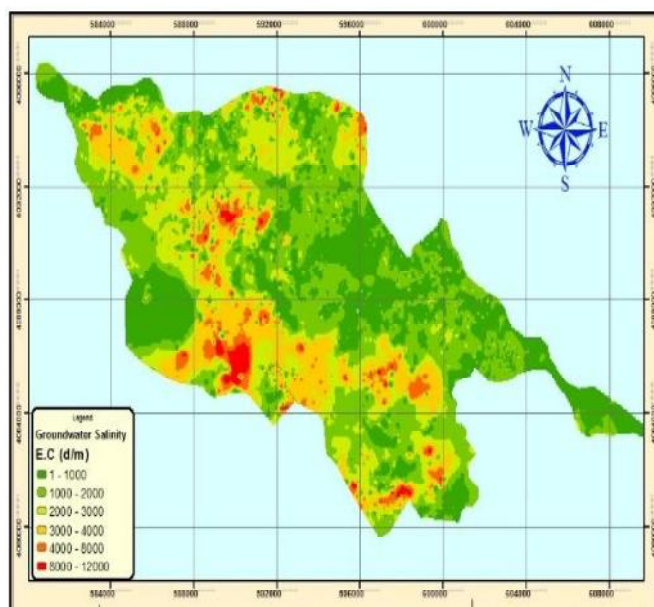
## ارزیابی عملکرد و ارائه الگوی بهینه تحویل آب در شبکه آبیاری زرینه‌رود

$$EC_{std} = [1 - 0.02 \times (T - 25)] \times EC_t \quad (11)$$

به روش مشابه، نقشه تغییرات عمق آب منطقه، مطابق شکل ۴، از روی اطلاعات سطح آب زیرزمینی اندازه‌گیری شده تهیه شد. نتایج نشان می‌دهد که شوری آب در محدوده اراضی بین دو روادخانه زرینه و سیمینه، به دلیل بالابودن سطح آب کمتر است، در حالی که به دلیل توزیع نامناسب آب، در پایاب شبکه و جنوب غربی محدوده، با رسیدن عمق آب به بیش از ۱۵ متر، میزان شوری نیز از ۴۰۰۰ ds/m تجاوز کرد و بر اساس طبقه‌بندی آب آبیاری ویلکاکس در کلاس شور قرار گرفت. شوری بخش‌هایی از اراضی واقع در بالادست شبکه، علی‌رغم بالابودن سطح آب زیرزمینی، به خوبی مشهود است. با توجه به پیمایش‌های صحرایی و بازدیدهای مکرر از وضعیت شبکه، همچنین صحبت با افراد محلی، فاضلاب یا آب‌های برگشتی در محدوده مطالعاتی وجود نداشت. عامل اصلی شوری اراضی، مشکل ماندابی شدن و زهکشی ضعیف اراضی بوده است.

تناسب آب تحویلی به آب مورد نیاز در همه انشعابات است. متوسط زمانی نوسان تناسب تحویل به صورت ضریب تغییرات مکانی تحویل در محل انشعابات، مصدق عدم عدالت توزیع قلمداد می‌شود. این شاخص با مقدار متوسط ۵۰ درصد نشان‌دهنده عدالت توزیع ضعیف است که سبب عدم تعادل بین عرضه و تقاضای آب در شبکه کانال‌های محدوده مطالعاتی شبکه زرینه‌رود شده است.

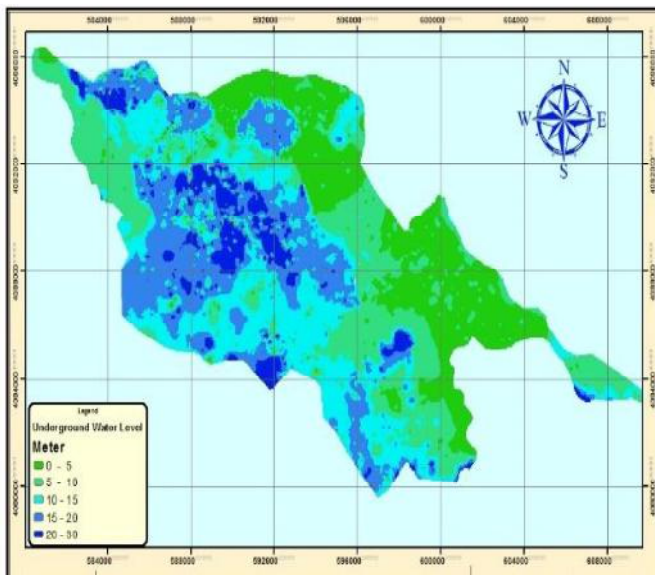
**تأثیر الگوی توزیع آب سطحی بر آب زیرزمینی**  
از آثار و پیامدهای الگوی توزیع نامناسب آب سطحی شبکه بر آب زیرزمینی محدوده شبکه آبیاری، دو مؤلفه شوری و عمق آب زیرزمینی بررسی شد. بدین منظور چاه‌های مجاز و غیرمجاز فعال محدوده مورد مطالعه در Arc GIS جدا شد. هدایت الکتریکی (EC) (استاندارد چاهها به عنوان شاخص شوری آب زیرزمینی از روی اطلاعات دما و EC اندازه‌گیری صحرایی طبق رابطه (۱۱) واسنجی شد. نقشه توزیع آن مطابق شکل ۳ به روش درونیابی IDW تهیه و ارائه شده است.



شکل ۳. نقشه تغییرات شوری آب زیرزمینی محدوده مطالعاتی

## مدیریت آب و آبیاری

دوره ۷ ■ شماره ۱ ■ بهار و تابستان ۱۳۹۶

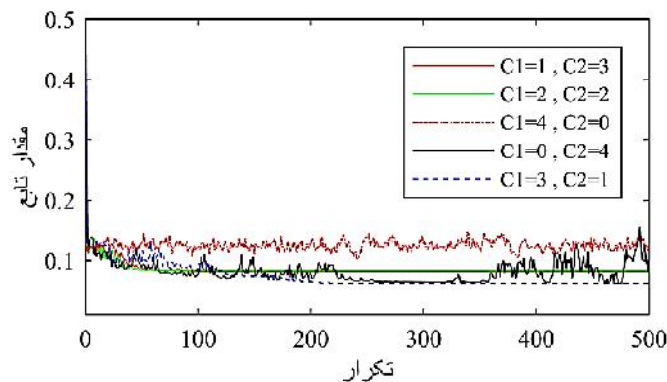


شکل ۴. نقشه تغییرات سطح آب زیرزمینی محدوده مطالعاتی

و ۱۰ درصد آب تحویلی را پیشنهاد می‌کند. در بعد مکانی نیز آب تخصیصی انشعب LSC، از  $13/8$  میلیون مترمکعب سال ۱۳۹۴ که در اردیبهشت ماه دو برابر و در مجموع ۱۱ درصد بیش از نیاز خالص بود و به  $8/1$  میلیون مترمکعب کاهش می‌یابد. سهم انشعب LPC با ۲۳ درصد افزایش به  $14/4$  میلیون مترمکعب می‌رسد. حجم تخصیص دو انشعب CPC و H1Q3 به حدود دوسوم تقلیل یافت و در انشعب‌های H25L، H19L، H4T2 و H3T مقادار آب تحویلی حدود دو برابر افزایش می‌یابد.

### الگوی بهینه تحویل و توزیع آب

با تحلیل حساسیت و تعیین مقادیر مناسب پارامترهای مدل مطابق شکل ۵، الگوریتم تهیه شده با تعداد پانزده ذره و شرط خطای کمتر از ۵ درصد با  $1000$  بار تکرار محاسباتی اجرا شد. مدل، الگوی بهینه تحویل آب را با  $3/9$  درصد بیش برآورد با مجموع  $95/8$  میلیون مترمکعب مطابق جدول ۸ ارائه می‌دهد. مقایسه با الگوی سال ۱۳۹۴ نشان می‌دهد که آب تحویلی اردیبهشت از  $17/4$  میلیون مترمکعب (درصد مازاد نیاز) به  $9/7$  میلیون مترمکعب (۶۶ درصد نیاز) تقلیل می‌یابد. در خرداد تفاوت چشمیگیری وجود ندارد، اما در ماه‌های تیر، مرداد و شهریور، به ترتیب افزایش ۹، ۱۴، ۱۰ میلیون مترمکعب می‌یابد.



شکل ۵. تأثیر مقادیر مختلف ضرایب شتاب در همگرایی الگوریتم PSO

### مدیریت آب و آبیاری

دوره ۷ ■ شماره ۱ ■ بهار و تابستان ۱۳۹۶

**جدول ۸ الگوی بهینه تحویل آب با الگوریتم PSO (مترمکعب)**

انشعاب / ماه	اردبیهشت	خرداد	تیر	مرداد	شهریور	جمع
H1Q2	۵۷۰۵۴	۱۲۳۵۴۱	۱۶۸۷۳۰	۱۵۸۸۴۴۳	۱۲۵۳۱۶	۶۳۳۴۸۴
H1Q3	۷۵۲۸۱	۱۴۳۷۵۴	۱۶۴۸۲۵	۱۵۴۶۱۹	۱۱۷۱۸۶	۶۵۵۶۶۵
H3T	۲۸۰۲۲۸	۵۴۳۶۳۲	۶۴۶۵۱۸	۵۸۹۸۳۷	۴۳۰۱۹	۲۴۹۴۲۲۳۴
CPC	۲۰۴۳۴۸۲	۵۰۹۶۹۸۷	۶۷۸۰۲۶۸	۶۲۲۵۳۳۴	۴۳۶۵۰۱	۲۴۵۱۲۵۷۲
H4T2	۱۴۳۴۶۵	۳۱۴۱۲۵	۴۴۴۴۵۷	۴۱۶۴۳۷	۲۹۷۴۱۶	۱۶۱۵۹۰۰
H4T1	۲۶۶۶۸۲	۵۹۵۶۶۷	۷۷۵۶۶۲	۷۲۸۱۷۹	۵۴۰۸۹۳	۲۹۰۷۰۸۳
H19L	۹۲۳۵۷۷	۱۸۶۵۰۱۱	۲۰۱۰۷۸۴	۱۸۲۴۴۴۳	۱۳۹۹۵۱۸	۸۰۲۲۳۳۳
H22L	۱۱۳۹۲۸۹	۲۲۹۹۷۵۷	۲۵۴۱۹۷۲	۲۳۱۴۲۰۰	۱۷۴۷۰۶۲	۱۰۰۴۲۲۸۰
H23L	۶۲۴۵۰۱	۱۱۱۵۳۶۱	۱۰۵۵۱۱۷	۹۳۶۰۷۵	۶۹۲۶۶۵	۴۴۲۲۷۱۹
H24T	۱۹۰۴۵۰	۴۵۷۱۹۳	۵۷۳۶۲۴	۵۳۹۹۸۵	۳۹۶۵۲۶	۲۱۵۷۷۷۸
H25L	۶۹۰۴۴۹	۱۲۸۰۵۷۳	۱۳۳۲۴۱۰	۱۲۰۲۶۲۴	۸۷۶۴۱۸	۵۳۹۲۴۷۴
PS	۹۹۳۸۹۲	۲۲۸۱۴۹۸	۲۷۰۷۸۰۱	۲۵۳۵۱۶۰	۱۸۹۴۵۹۷	۱۰۴۱۲۹۷
LSC	۸۸۰۲۴۶	۱۷۴۵۳۷۲	۲۰۸۷۷۶۵	۱۹۱۳۷۸۴	۱۴۷۲۵۰۶	۸۰۹۹۶۷۳
LPC	۱۴۰۰۲۲۹	۳۲۲۲۸۹۶	۳۷۲۴۸۸۳	۳۴۶۷۴۱۷	۲۶۲۹۲۳۵	۱۴۴۴۴۶۶۰
جمع	۹۷۰۸۸۲۴	۲۱۰۸۵۳۶۷	۲۵۰۲۴۸۱۷	۲۳۰۰۶۹۳۶	۱۶۹۸۹۸۵۹	۹۵۸۱۵۸۰۳

درصد مطلوب است، اما تلفات آب مازاد سبب پایین بودن راندمان (متوسط ۵۶ درصد) شده است. شاخص عدالت توزیع با متوسط ۵۰ درصد بیانگر زیاد بودن ضریب تغییرات مکانی تحویل آب به آبگیرهاست که با متوسط ضریب تغییرات ۳۸ درصدی شاخص پایداری از ثبات زمانی کافی برخوردار نیست. این امر عدم اطمینان‌پذیری جوامع ذی‌نفسع نسبت به تحویل بموقع آب کانال‌ها و در نتیجه اتکا به منابع تأمین جایگزین را موجب شده است، به طوری که تنها کمتر از ۱۲ درصد چاههای محدوده مجاز و ۸۸ درصد چاههای غیرمجاز مجوز است. حجم برداشت سالانه از چاههای غیرمجاز حدود ۴/۴ برابر چاههای مجاز است. از آثار الگوی نامناسب توزیع آب سطحی در آب زیرزمینی، افزایش شوری به بیش از ۴۰۰۰ ds/m و افزایش عمق ایستابی به بیش از ۱۵ متر در پایاب شبکه و جنوب‌غربی محدوده بوده است. در بخش‌هایی از بالادست شبکه نیز شوری ناشی از شرایط ماندابی و زهکشی ضعیف مشهود است.

محاسبه مجدد شاخص‌های ارزیابی عملکرد در الگوی تحویل پیشنهادی مدل نشان می‌دهد که مقدار شاخص کفایت، به دلیل شرایط کمبود، برابر ۱ (۱۰۰ درصد) است و در کلاس خوب قرار دارد. شاخص راندمان با ۹ درصد افزایش به ۶۵ درصد ارتقا یافت و همچنان در کلاس ضعیف است. شاخص پایداری با ۳۰ درصد کاهش ضریب تغییرات، به مقدار متوسط ۸ درصد رسید و در کلاس خوب قرار دارد که ثبات الگوی توزیع را نشان می‌دهد. شاخص عدالت توزیع نیز به دلیل تأمین حداقل ۶۰ درصد و متوسط ۶۵ درصد نیاز آبی، با مقدار متوسط ۱۲ درصد ضریب تغییرات، حدود ۳۸ درصد بهبود می‌یابد و در کلاس متوسط قرار دارد.

### نتیجه‌گیری و پیشنهادها

ارزیابی الگوی تحویل آب شبکه زرینه رود با شاخص‌های مولدن-گیتس نشان می‌دهد که کفایت آبیاری با متوسط ۹۷

### مدیریت آب و آبیاری

۳. دفتر مطالعات پایه منابع آب شرکت آب منطقه‌ای استان آذربایجان غربی (۱۳۹۴) مطالعات آماربرداری منابع آب. ۱۸۸ ص.
۴. شاهرخ نیا م. و جوان م. (۱۳۸۵) بررسی شاخص‌های عملکرد آبیاری در شبکه آبیاری درودزن (مروژت استان فارس). تحقیقات مهندسی کشاورزی. ۲۹(۷): ۴۶-۳۳.
۵. قادری ک. و قادری نسب‌گروهی ف. (۱۳۹۵) بررسی عملکرد الگوریتم‌های بهینه‌سازی PSO و ICA در ارائه برنامه تحویل و توزیع بهینه آب؛ مطالعه موردی کanal اردیبهشت شبکه آبیاری درودزن استان فارس. پانزدهمین کنفرانس هیدرولیک ایران. دانشکده فنی و مهندسی، دانشگاه بین‌المللی امام خمینی (ره)، قزوین.
۶. کاظمی اربط، ح. (۱۳۸۴) مورفولوژی و آناتومی غلات. جلد ۲، انتشارات دانشگاه تبریز، تبریز. ۵۸۸ ص.
۷. محسنی موحد ا، محسنی ن. و نوروزپور س. (۱۳۸۹) ارزیابی اثرات وزن‌دهی به شاخص‌ها بر عملکرد کanal‌های آبیاری. آب و خاک. ۶(۲۴): ۱۰۹۶-۱۰۸۳.
۸. وردی‌نژاد و.ر، سهرابی ت، حیدری، ن، عراقی‌نژاد ش. و مأمن‌پوش ع. (۱۳۸۸) بررسی عرضه و تقاضا و برآورد بهره‌وری آب کشاورزی در حوزه آبریز زاینده‌رود، مطالعه موردی: شبکه آبیاری سمت راست آبشار. آبیاری و زهکشی ایران. ۳(۲): ۹۹-۸۸.
۹. یاسی، م. (۱۳۹۳) راهکار احیای دریاچه ارومیه با مدیریت زیست‌محیطی رودخانه‌های درون حوضه. مجموعه مقالات دومین همایش ملی بحران آب. دانشگاه شهرکرد، ایران. ۱-۸.

بهینه‌سازی الگوی تحویل با الگوریتم تجمع ذرات (POS) نشان داد که طبق برنامه جدید توزیع آب، شاخص راندمان ۹ درصد افزایش یافت، اما همچنان در کلاس ضعیف است. شاخص‌های پایداری و عدالت توزیع نیز به ترتیب با کاهش ۳۰ و ۳۸ درصدی ضریب تغییرات امکان بهبود دارد. ارتقای مقادیر شاخص‌ها در الگوی پیشنهادی مدل هم تأکیدی است بر ضعف الگوی جاری و در نتیجه ظرفیت بهبود عملکرد شبکه. همچنین، بیانگر توانایی الگوریتم تجمع ذرات در بهینه‌سازی است. با توجه به نتایج تحقیق پیشنهاد می‌شود که در راستای بهبود الگوی توزیع برای ایجاد تعادل عرضه و تقاضای آب شبکه، علاوه بر اقدام‌های سازه‌ای (نظیر تجهیز و تعمیر دریچه‌ها)، نظارت و کنترل بیشتری بر تحویل و برداشت آب انجام گیرد. نگاه مدیریتی شبکه باید از دید صرف اقتصادی (با هدف وصول حقابه)، به نگاه مدیریت مشارکتی آب (با همکاری و توأم‌نمایی جوامع محلی) در جهت برقراری و ثبات الگوی توزیع عادلانه تغییر یابد. پژوهش حاضر، برای الگوی کشت موجود منطقه انجام شد. بررسی امکان جایگزینی گندم، کلزا و محصولات کم‌صرف با گیاهان پرمصرف مثل چغندرقند، و تغییر روش‌های آبیاری برای مطالعات آینده پیشنهاد می‌شود.

## منابع

۱. جمالی ر. (۱۳۹۵) ارزیابی راندمان آبیاری زهکشی زرینه‌رود و تأثیر بهبود آن بر حجم جریان ورودی به دریاچه ارومیه. پایان‌نامه کارشناسی ارشد. دانشگاه ارومیه، ارومیه، ۱۳۸ ص.
۲. خوشخوی م. (۱۳۸۴) اصول باغبانی. چاپ سیزدهم. مرکز نشر دانشگاه شیراز، شیراز، ۵۹۶ ص.

## مدیریت آب و آبیاری

10. Afrasiabikia P., Parvaresh Rizi A. and Javan M. (2017) Scenarios for improvement of water distribution in Doroodzan irrigation network based on hydraulic simulation. Computers and Electronics in Agriculture. 135: 312-320.
11. Jiang Y., Huang Q., Huo Z. and Huang G. (2015) Assessment of irrigation performance and water productivity in irrigated areas of the middle Heihe River basin using a distributed agro-hydrological model. Agricultural Water Management. 147: 67-81.
12. Kennedy J. and Eberhart R. (1995) Particle swarm optimization. Proceedings of the IEEE International Conference on Neural Networks. Perth, Australia, 1942-1948.
13. Korkmaz N. and Avci M. (2012) Evaluation of water delivery and irrigation performances at field level: the case of the Menemen Left Bank irrigation district in Turkey. Science and Technology. 5(2): 2079-89.
14. Moghimi M.M. and Sepaskhah A.R. (2017) Optimization of performance measures in Doroodzan Irrigation Network. Iran Agriculture Research (IAR). 36(1): 49-60.
15. Molden D. and Gates K. (1990) Performance measures for evaluation of irrigation-water delivery system. Irrigation and Drainage Engineering, American Society of Civil Engineering. 116(6): 804-822.
16. Montalvo A., Joaquín Izquierdo A., Silvia Schwarze B. and Pérez-García R. (2010) Multi-objective particle swarm optimization applied to water distribution systems design: An approach with human interaction. Mathematical and Computer Modelling. 52: 1219-1227.
17. Murray-Rust D. and Hand Snellen W.B. (1993) Irrigation system performance assessment and diagnosis. Colombo, Srilanka, International Irrigation Management Institute.
18. Murray-Rust, D.H., Lashari, B. and Memon, Y. (2000). Extended project on farmer managed irrigated agriculture under the National Drainage Program (NDP): Water distribution equity in Sindh Province, Pakistan. International Water Management Institute (IWMI).
19. Rezaei F., Safavi H.R., Mirchi A. and Madani K. (2017) F-MOPSO: An alternative multi-objective PSO algorithm for conjunctive water use management. Hydro-environment Research. 14: 1-8.
20. Roozbahani R., Schreider S. and Abbasi B. (2015) Optimal water allocation through a multi-objective compromise between environmental, social and economic preferences. Environmental Modelling & Software. 64: 18-30.

